

УДК 520.35

ЭШЕЛЬНЫЙ СПЕКТРОМЕТР ВЫСОКОЙ ДИСПЕРСИИ ДЛЯ
ФОКУСА КУДЭ КРУПНЫХ ТЕЛЕСКОПОВ

А. Б. Домбровская*, Г. Г. Парицкая*

Рассматриваются варианты конструкции спектрометра высокого разрешения, основанного на применении крупногабаритной решетки эшеле.

Construction varieties of the high resolution spectrometer, based on the use of large echelle grating, are considered.

В 1960-70-е г. спектрографы фокуса кудэ, производимые зарубежными фирмами и в нашей стране, работали с эшелеттами, и в качестве светоприемника использовалась фотопластинка. Спектрографы были громоздкие и дорогостоящие, так как для получения высокой дисперсии и разрешения требовались 7-10 м коллиматоры и 2-3 м камеры, поэтому спектрографы размещались в шахтах-колодцах. Однако получить разрешение выше, чем 0.2-0.3 Å и дисперсию 2-3 Å/мм не удавалось.

Появление эшельных дифракционных решеток в 80-е г. стало поворотным пунктом в развитии астроспектроскопии высокого разрешения. Именно в астроспектроскопии проявляются преимущества применения эшельных решеток. Они позволяют получить:

1) более высокое (в 2-3 раза) теоретическое разрешение при той же проницающей силе за 1 час и при умеренном числе штрихов, благодаря работе в высоких порядках, что позволяет обеспечить одной эшельной решеткой достаточно широкий спектральный диапазон;

2) в 6-7 раз более высокую дисперсию (0.1 Å/мм), благодаря большим углам блеска эшельных решеток, что позволяет значительно сократить размеры астроспектрографов, а, следовательно, отпадает необходимость в строительстве глубоких шахт-колодцев и значительно удешевляется стоимость спектрографов.

Критерием эффективности астроспектрографов является разрешающая сила $\lambda/\delta\lambda$, равная

$$\lambda/\delta\lambda = \frac{C}{D} \cdot \frac{\lambda}{d\omega} \cdot \frac{d\beta}{d\lambda},$$

где D и C – диаметры, соответственно, телескопа и коллиматора спектрографа.

Для крупных телескопов с диаметром зеркала 1.5 м турбулентный кружок рассеяния, соответствующий 1 угл. сек. дуги, составляет 0.24 мм. Для таких

* Ленинградское оптико-механическое объединение

телескопов теоретическая разрешающая сила $\lambda/\delta\lambda = 2 \cdot 10^5$ при линейной дисперсии 0.1 \AA/mm .

При работе с решеткой-эшелле происходит уменьшение свободного спектрального интервала и, чтобы охватить весь необходимый спектральный диапазон, используют несколько, обычно 10–20, высоких порядков интерференции. Чтобы порядки не накладывались друг на друга, астроспектрометры с эшельными решетками строятся по схеме скрещенной дисперсии, где в качестве второго диспергирующего элемента применяются решетки-эшелетты с малой дисперсией, направление которой перпендикулярно направлению дисперсии основной эшельной решетки, причем вместо длинного узкого спектра в виде одной строчки получают прямоугольник, состоящий из 15–20 строк, находящихся друг под другом, что позволяет применять современные многоканальные панорамные фотоэлектронные приемники (электронно-оптические преобразователи с ретиконами, дисекторы, ПЗС-матрицы).

Объекты и задачи исследования определяют оптическую схему кулэ эшельного спектрометра (КЭСа). Наиболее узкие линии наблюдаются в спектрах красных гигантов и сверхгигантов. Полуширина этих линий $\delta\lambda$ порядка 0.07 \AA и, так как для построения контура линий достаточно иметь на этой полуширине четыре точки, практическое разрешение КЭС должно быть порядка 0.02 \AA при общей ширине контура линии 2 \AA (одновременно регистрируемый спектральный диапазон). Искажение контуров линий поглощения из-за зеемановского расщепления, исследование пульсации звездных атмосфер и осевого вращения звезд, изучение полос поглощения молекул газов требуют такого же разрешения. С другой стороны, измерение химического состава звезд по интенсивности линий атомов и молекул требуют более грубого разрешения порядка 0.06 \AA и на порядок большего спектрального диапазона – 20 \AA .

Для обзорных исследований спектров звезд и планет необходимо разрешение $0.2\text{--}0.3 \text{ \AA}$ при одновременно регистрируемом спектральном диапазоне $2000 \text{ \AA} - 4000 \text{ \AA}$.

Для решения этих задач оптическая схема КЭС должна отличаться универсальностью. Предлагаемая схема состоит из трех каналов, позволяющих решать широкий круг задач, и отличается сравнительной компактностью. Первый канал (рис. Ia) построен по автоколлимационной схеме двойной дифракции со скрещенной дисперсией и с решеткой-эшелле в качестве основного диспергирующего элемента. Как показал расчет, горизонтальная схема расположения всех оптических элементов не может обеспечить требуемый спектральный диапазон из-за больших углов дифракции. Поэтому для первого канала была выбрана вертикальная схема, в которой центры всех оптических деталей, включая и центр светоприемника, находятся в плоскости, перпендикулярной плоскости дисперсии решетки-эшелле. Кроме того, в вертикальной схеме меньше вероятность попадания рассеянного света на светоприемник. Свет от входной щели I (рис. Ia) попадает на сферическое

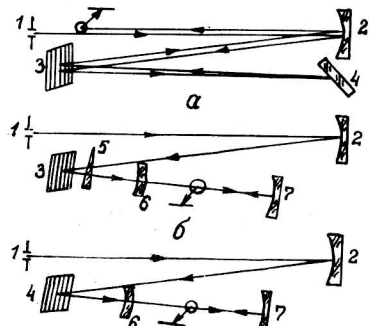


рис. 1

коллиматорное зеркало 2, затем на решетку-эшеле 3, которая раскладывает его в спектр с различными порядками, наложенными друг на друга. Плоская дифракционная решетка 4, дисперсия которой перпендикулярна к направлению дисперсии решетки-эшеле, в свою очередь, раскладывает спектр в виде строк, соответствующих разным порядкам и расположенных друг под другом. Участок одной из этих строк, попадая на решетку-эшеле 3 второй раз, растягивается ею в спектр с удвоенной дисперсией. Сферическое зеркало 2, которое работает в данном случае как камерное, строит изображение спектра в своей фокальной плоскости, где расположен светоприемник (рис. Ia - плоскость изображения). Число штрихов решетки-эшеле 3 равняется 200, это обеспечивает ее работу в спектральном диапазоне от 3200 Å до 9000 Å. Большой угол блеска решетки 3, обеспечивающий необходимую высокую дисперсию, ограничивается виньетированием пучка у длинноволнового края строк. Так, например, при угле блеска $\gamma = 69^\circ 16'$ виньетирование в инфракрасной области доходит до 22 %, при $\gamma = 65^\circ 30'$ виньетирование в ИК области не превышает 7 %. Условие изоляции одной строки при повторном падении света на решетку-эшеле 3 обеспечивается числом штрихов 1800 для решетки 4. При этом рабочие порядки находятся в пределах от $k=10$ до $k=28$ и не превышают предел $k=40$, при котором начинают возникать нарушения из-за поляризации дифрагированного света. Так как относительное отверстие телескопов (АЗТ-22, ЗТА, БТА), которые могут работать с КЭС, в среднем равно $1/35$, а длина штриха на решетке-эшеле не превышает 200 мм, то размер фокусного расстояния коллиматорно-камерного объектива должен быть 4800 мм. При выбранных параметрах оптических элементов первого канала весь спектральный диапазон получается в виде 19 строк длиной от 116 Å в синей области до 433 Å в красной области, соответственно обратная линейная дисперсия изменяется от 0.074 Å/mm до 0.215 Å/mm. Однако на светоприемник одновременно попадает только часть строки, соответствующая линейному полю, которое ограничивается виньетированием пучка на решетке-эшеле и не превышает 40 мм. Поэтому одновременно регистрируемый диапазон получается от 3 Å в синей области до 8.5 Å в красной области. Чтобы устанавливать на приемник любую область рабочего спектрального диапазона, надо эшель 3 поворачивать вокруг ее оси в пределах углов: $-5^\circ, +7^\circ$, а решетку 4, скрещенную с эшелью, поворачивать в пределах углов: $-17^\circ, +22^\circ$.

Аберрационный расчет оптической схемы I-го канала проведен на ЭВМ по программе расчета хода лучей для систем с произвольным расположением оптических элементов. Оказалось, что кружок рассеяния для прямоугольного зрачка не превышает 0.03 мм, тогда как дифракционное изображение равно 0.04 мм. Итак качество изображения, даваемое 1-ым каналом, является дифракционным с полушириной 0.02 мм.

Размер входной щели I выбирается из следующих соображений: для телескопа с диаметром зеркала равным 1.5 м турбулентный кружок в I" равен 0.26 мм, отсюда ширина щели выбиралась из условия наблюдения протяженных объектов (планеты, межзвездная среда). Отсюда, считая максимальный размер планеты (например, Юпитера) равным 60", получаем для телескопа диаметром 1.5 м размер поля 16 мм. К этому следует добавить два спектра сравнения. Поэтому необходимая высота щели равна 25 мм. Как показал аберрационный расчет, в вертикальной схеме можно работать без наклона входной щели. Следовательно,

чтобы использовать полностью все практическое разрешение, выходную щель следует спроектировать на светоприемник с увеличением -0.1^X , чего проще всего достичь с помощью волоконно-оптического преобразователя - "фокона". С другой стороны, можно работать и без "фоконов", если позволяют размеры светоприемников. Например, при длинах волн короче 400–500 нм, где ПЗС-матрицы малоочувствительны, можно работать с электронно-оптическими преобразователями диссекторами размерами до 40 мм.

Переход ко второму каналу (рис. Iб) происходит путем наклона решетки-эшеле 3 на угол 6° по отношению к падающему пучку в плоскости, перпендикулярной плоскости дисперсии решетки-эшеле. Решетка 4 выводится из пучка, для создания скрещенной дисперсии вводится призма Карпентера 5 и далее вводится зеркально-линзовая камера Ньютона-Максутова 6, 7. Свет от входной щели падает на коллиматорное зеркало 2 (как и в первом канале), затем проходит диспергирующий блок 3, 5 и, наконец, зеркально-линзовой камерой 6, 7 фокусируется на фотоэлектрический приемник. Призма Карпентера 5 представляет собой прозрачную дифракционную решетку, нанесенную на гипотенузную грань призмы. Как известно (Луер и др., 1979), призма Карпентера обеспечивает в два раза большее пропускание, чем обычная решетка и в то же время не изменяет хода лучей в оптической системе. Расчет преломляющего угла θ призмы Карпентера производился из величины угловой дисперсии, необходимой для разнесения строк по высоте щели в плоскости изображения. Угловая дисперсия $d\beta/d\lambda$ определяется из следующей формулы:

$$\frac{d\beta}{d\lambda} = (n-1) \frac{\operatorname{tg}\theta}{\lambda} \left[\left(\frac{\lambda}{d\lambda} \cdot \frac{dn}{n-1} \right) - 1 \right], \quad (1)$$

где λ – длина волны прямого прохождения света;

n – показатель преломления призмы;

$d\lambda$ – спектральный интервал каждой строки спектра данного порядка, выделяемый эшелем;

dn – интервал изменения показателя преломления в пределах каждой строки.

Число штрихов решетки N , нарезанной на гипотенузной грани призмы с углом θ , определялось из условия прямого прохождения света для средней длины волны по формуле:

$$N = \frac{(n-1)\sin\theta}{\lambda}. \quad (2)$$

Чтобы увеличить на порядок одновременно регистрируемый спектральный диапазон по сравнению с I-м каналом, широкомельность (отношение фокуса коллиматора к фокусу камеры) была выбрана равной 5^X , что позволило получить одновременно регистрируемый диапазон от 0.07 \AA до 0.13 \AA . Зеркально-линзовая камера Ньютона 6, 7 имеет следующие характеристики: фокусное расстояние 960 м ; относительное отверстие $1:7$; поле зрения $2\beta = 3^\circ$; добавочное центральное экранирование 20% ; спектральный диапазон $3200 \text{ \AA} - 9000 \text{ \AA}$. Этот спектральный диапазон разбит на два поддиапазона $3200 \text{ \AA} - 5000 \text{ \AA}$ и $5000 \text{ \AA} - 9000 \text{ \AA}$, исходя из свойств светоприемников: для первого поддиапазона применяются

электронно-оптические преобразователи, состыкованные с ПЗС-матрицами, для красной и инфракрасной области применяются только ПЗС-матрицы. В первом диапазоне применяется призма Карпентера с преломляющим углом $\theta = 7^\circ 15'$ и числом штрихов на гипотенузной грани $N = 150$, для обеспечения требуемого расстояния между строчками в плоскости изображения. Во втором поддиапазоне характеристики призмы Карпентера таковы: $\theta = 2^\circ 37'$, $N = 50$.

В первом поддиапазоне в плоскости изображения получается 11 строчек, средняя длина волны меняется от 3250 Å до 5059 Å, расстояние между соседними строчками изменяется от 3.8 мм до 6 мм и обратная линейная дисперсия изменяется от 0.7 Å/мм до 1.1 Å/мм. Во втором поддиапазоне в плоскости изображения получается 9 строчек, средняя длина волны изменяется от 5055 Å до 9099 Å, расстояние между соседними строчками изменяется от 38 мм до 7 мм, обратная линейная дисперсия изменяется от 1.2 Å/мм до 2.1 Å/мм.

Если бы в качестве второго диспергирующего элемента для создания скрещенной дисперсии применялась обычная призма, то ее преломляющий угол α должен был быть порядка 60° , что исключает ее применение из-за большого поглощения. Аберрационный расчет, проведенный для камеры Ньютона 6,7 для бесконечно узкой щели по программе ОПАЛ, разработанной в ЛИТМО, показал, что полуширина спектральной линии не превышает 2 мкм для $\lambda = 3200$ Å и 3 мкм для $\lambda = 9000$ Å.

Третий канал (рис. Iв) получается из 2-го канала простым выведением призмы Карпентера 5 и заменой решетки-эшеле 3 решеткой 4 из 1-го канала. Этот канал используется для проведения обзорных исследований спектров звезд и планет. Так, одновременно регистрируемый диапазон в области от 3200 Å до 5000 Å равен 285–270 Å, при этом спектральное разрешение для щели 0.2 мм изменяется от 0.34 Å до 0.32 Å, а в области от 5000 Å до 9000 Å одновременно регистрируемый диапазон от 270 Å до 200 Å, а спектральное разрешение – от 0.32 Å до 0.24 Å.

Была проведена оценка проникающей силы спектрометра с телескопом БТА с диаметром зеркала 6 м.

Расчетное пропускание 1-го и второго каналов – соответственно 0.25 и 0.35.

При расчете использовались данные о проникающей силе, полученные на спектрометрах подобного типа с разрешением 0.03 Å – 0.2 Å в Ликской и Европейской Южной обсерваториях и обсерватории Мак-Дональда (Тулл, 1972; Миллер и др., 1980; Луэр, 1979).

Квантовый выход ПЗС-матрицы был принят 80 %, квантовый выход ЭОПа – 10 %.

Проникающая сила с телескопом БТА за 1 час при применении в качестве приемника ПЗС-матрицы должна составить для первого канала 9.6^m при разрешении 0.01 Å – 0.04 Å, а для второго канала 9.8^m при разрешении 0.04 Å – 0.1 Å.

При этом для полного использования света от БТА при щели 0.2 мм необходимо применение "резателя изображения". Наиболее подходящим является "резатель типа зеркальной щели", предложенный сотрудниками САО (авторское свидетельство № 1236325 от 1986 г.), который при количестве разрезов, равных 7, использует 75% площади турбулентного кружка 2". С телескопами диаметром зеркала 1.5 – 2 м спектрометр может работать без потерь со щелью 0.2 мм без "резателя".

Описанный спектрометр отличается от других эшельных спектрометров высокой дисперсией, работающих за рубежом, в два раза более высоким разрешением, а также наличием дополнительных каналов меньшего разрешения для обзорных работ. В обсерваториях Советского Союза таких спектрометров не имеется.

ЛИТЕРАТУРА

- Луер и др. (Luyer M. Le., Melnik J., Richter W.): 1979, ESO Messenger, No. 17,
P. 27-29.
- Миллер и др. (Miller J. S., Robinson L. B., Schmidt G. D.): 1980, Publ. Astron.
Soc. Pacif., No. 549, P. 702.
- Тулл (Tull R.): 1972, in: ESO/CERN Conference on Auxiliary Instrumentation for
large Telescopes, P. 259-274.

Поступила в редакцию
28 декабря 1989 г.